

## Synthesis of the $\text{Fe}_2\text{O}_3\text{-CoO-Cr}_2\text{O}_3\text{-MnO}_2$ pigments by co-precipitation method

Soo-Nyong Choi<sup>†</sup> and Byung-Ha Lee

Department of Materials Science & Engineering, Myongji University, Yongin 449-728, Korea

(Received October 31, 2007)

(Accepted November 30, 2007)

**Abstract** The inorganic pigments of  $\text{Fe}_2\text{O}_3\text{-CoO-Cr}_2\text{O}_3\text{-MnO}_2$  were synthesized by the co-precipitation method.  $\text{FeCl}_3$ ,  $\text{CoCl}_2$ ,  $\text{CrCl}_3$  and  $\text{MnCl}_2$  are used for the starting raw materials, and 2 N-KOH for precipitator.  $\text{MnCl}_2$  is secured with 10 mole%, and 6 composition ratios are used with three ingredients to synthesize the pigments. The samples were calcined at 1350°C/1.5 h. The resulting pigments were characterized by using XRD, FT-IR, SEM, and UV spectrophotometer. 6 wt% pigments were applied to lime glaze and lime-barium glaze respectively firing at 1260°C for oxidation atmosphere and 1240°C for reduction one. The results of color analysis by using UV spectrophotometer showed black, bluish black and dark grayish green.

**Key words** Co-precipitation method, Color, Pigments

## 공침법에 의한 $\text{Fe}_2\text{O}_3\text{-CoO-Cr}_2\text{O}_3\text{-MnO}_2$ 계 안료 연구

최수녕<sup>†</sup>, 이병하

명지대학교 신소재공학과, 용인, 449-728

(2007년 10월 31일 접수)

(2007년 11월 30일 심사완료)

**요 약** 본 연구에서는  $\text{Fe}_2\text{O}_3\text{-CoO-Cr}_2\text{O}_3\text{-MnO}_2$ 계 색상의 무기안료를 공침법을 사용하여 합성하였다. 출발원료로는  $\text{FeCl}_3$ ,  $\text{CoCl}_2$ ,  $\text{CrCl}_3$ ,  $\text{MnCl}_2$ 를 사용하였으며 침전제로는 2 N-KOH를 사용하였다.  $\text{MnCl}_2$ 는 10 mole%로 고정한 후 세 가지 원료로서 6가지 조성비를 만들어 안료를 합성하였다. 조합된 시료는 1.5시간 1350°C에서 하소하였다. XRD, FT-IR, SEM 과 UV spectrophotometer를 사용하여 안료의 특성 분석을 하였다. 합성된 안료는 석회유, 석회 바륨유에 각각 6 wt%씩 첨가하여 1260°C 산화소성, 1240°C 환원 소성하였다. UV Spectrometer를 사용하여 색상분석을 한 결과는 black, bluish black, dark grayish green을 나타냈다.

### 1. 서 론

도자기는 우리의 일상생활과 밀접하게 관련되어 있으며 문화와 함께 발달되어 왔다. 이에 흙을 소재로 한 도자는 그 자체의 느낌만으로는 부족함이 없으나 현대에서는 제조 기법, 제조기술의 발달로 장식의 효과를 더욱 갈망하게 되었다[1].

다시 말해, 예로부터 사용해오던 청자, 청화백자, 진사만으로는 다양한 장식효과를 나타내기에는 한계가 있어 근대에 와서는 전통도자기에 다양한 안료와 철, 동, 코발트의 발색산화물을 사용하여 장식효과를 나타내고

있다.

그 중 철은 가장 광범위하게 사용되어온 착색제이다. 동은 주로 콜로이드 빛색에 의한 적색의 정색을 나타내기엔 다소 어려움이 있었지만 널리 쓰이고 있다. 코발트의 청색은 아름답기에 두루 쓰이긴 하였지만 공급원인 회청을 수입에만 의존 할 수밖에 없어서 아무런 제약 없이 사용하기엔 어려운 형편이다[2].

현재 안료는 급속도로 발전하여 거의 마음대로 원하는 색을 발색하는 안료를 얻을 수 있게 되었다. 색에 의한 채색의 방법에는 색소지, 유하채색료, 색유, 유상채색료 등 여러 가지가 있는데 각기 독특한 발색경향과 멎을 지니고 있다. 어떠한 색을 원할 때 가장 중요한 재료는 안료이다. 원소나 그 산화물을 채료로 사용할 경우 그 원소의 발색은 조건 즉 사용하는 곳의 조성이나 소성온도, 소성분위기에 따라서 착색이 안정하지 못하고 변하는 수

<sup>†</sup>Corresponding author  
Tel: +82-31-330-6461  
Fax: +82-31-330-6457  
E-mail: pottery73@naver.com

가 많다. 그래서 안정된 착색제가 필요하다. 이러한 재료가 안료이다. 채료의 일반적인 요건은 원료 혼합, 소성, 소성물의 처리 등이며 이런 요건을 정확히 수행할 때 안정한 안료를 얻을 수 있다. 안료는 열적으로나 화학적으로 안정된 것이 요구되기 때문에 일반적으로 안정된 화합물이거나 고용체의 경우가 대부분이다. 그러므로 안료의 제조는 안정된 화합물 또는 고용체의 합성이라고 볼 수 있다.

안료의 합성방법인 고상법과 액상법 중 물질반응의 연구로 가장 많이 언급된 것이 액상법이다. 또한 세라믹 미분체의 제조법으로 널리 이용되고 있는 액상반응법 중 공침법은 고상법에 비해 합성된 분말 입자의 크기가 규모하고 미세한 분말을 얻을 수 있으며 고상법 보다 낮은 온도에서 합성이 가능한 것이 장점이다[3].

이와 같은 장점을 가지고 있는 공침법으로  $\text{Fe}_2\text{O}_3$ - $\text{CoO}$ - $\text{Cr}_2\text{O}_3$ - $\text{MnO}_2$ 계 안료를 개발하고자 한다.

## 2. 실험 방법

### 2.1. 출발원료

본 연구에서는 공침법을 사용하여  $\text{Fe}_2\text{O}_3$ - $\text{CoO}$ - $\text{Cr}_2\text{O}_3$ - $\text{MnO}_2$ 계 안료를 개발하고자 한다. 사용된 원료는  $\text{FeCl}_3$ ,  $\text{CoCl}_2$ ,  $\text{CrCl}_3$ ,  $\text{MnCl}_2$ (Duksan Chemical Co., Korea), KOH(Tedia Company, INT)이다.

출발물질인  $\text{FeCl}_3$ ,  $\text{CoCl}_2$ ,  $\text{CrCl}_3$ ,  $\text{MnCl}_2$  1 mole 용액과 침전제로 쓰일 2 N-KOH 용액을 만들어 준비해두었다. 수용액들의 pH를 구하기 위하여 KOH용액을 2 cc 간격으로 적어 하였으며, 공침시의 pH 값은 양반응체의 공침이 완전히 이루어지도록 pH 12~13으로 유지하였다.

공침법은 고상법에 비해 반응체 양성분의 상호분산이 보다 규모하다. 특히, 사용원료가 같은 죽의 원소로서 침전의 용해도, 침전시의 pH가 비슷한 경우에는 상당히 규모한 혼합이 이루어진다[4, 9, 11].

### 2.2. $\text{Fe}_2\text{O}_3$ - $\text{CoO}$ - $\text{Cr}_2\text{O}_3$ - $\text{MnO}_2$ 계 안료 합성

안료의 합성과정을 Fig. 1에 flow chart로 나타내었다. 먼저  $\text{FeCl}_3$ ,  $\text{CoCl}_2$ ,  $\text{CrCl}_3$ ,  $\text{MnCl}_2$ 를 출발물질로 하여  $\text{MnCl}_2$ 를 0.1 mole로 고정한 조합비를 Table 1에 나타내었다. 혼합한 수용액을 가정용 mixer기에 넣고 교반한 뒤 2 N-KOH 용액을 투척하여 교반하였다.

혼합수용액을 여과시키며 잔류  $\text{Cl}^-$  이온을 제거하기 위하여 여러 번 수세하였으며, 완전한 침전물을 얻기 위해서  $\text{AgNO}_3$  용액으로 마지막 반응을 확인하였다.

최종 침전물을 dry oven에서 100°C, 24 hr 시간 건조

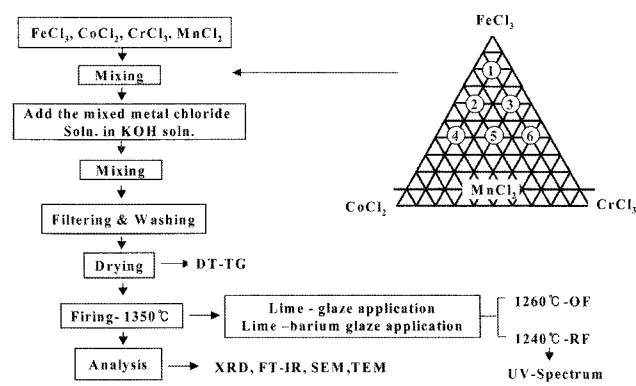


Fig. 1. Flow chart of experimental procedure of black pigments synthesis.

Table 1  
Composition of samples (mole%)

Material Sample	FeCl <sub>3</sub>	CoCl <sub>2</sub>	CrCl <sub>3</sub>	MnCl <sub>2</sub>
BP1	14	1	2	1
BP2	10	3	2	1
BP3	10	1	6	1
BP4	6	5	2	1
BP5	6	3	6	1
BP6	6	1	10	1

하였다.

조합된 건조된 시료는 알루미나 도가니에 넣어 뚜껑을 덮고 전기 가마로 1350°C에서 1.5시간 소성한 후 자연 냉각하였다.

### 2.3. 특성분석 및 미세구조 관찰

#### 2.3.1. 특성분석

공침 후 수세, 건조한 분말의 강열감량과 분해, 전이, 새로운 결정상의 생성 등의 열간 변화를 알아보기 위해 DT-TG(DTG-60H, Shimadzu, Japan) 분석을 실온에서부터 1200°C까지 행하였다. 소성온도에 따른 안료의 상전이 특성을 알아보기 위하여 X선 회절(XRD-7000, Shimadzu, Japan) 분석을 행하였다.

합성한 안료 내 결정상의 고용관계와 비정질 물질을 분석하기 위하여 1350°C에서 소성한 안료들에 대한 FT-IR(IR Prestige-21, Shimadzu, Japan) 분석을 하였다. FT-IR의 측정은 KBr 시료에 혼합하여 정제 성형기로 수분간 압력을 주어 투명한 pellets 으로 만든 후 transmittance mode로 측정하였으며, 측정범위는 300~2000  $\text{cm}^{-1}$ 로 resolution은 16  $\text{cm}^{-1}$ 로 했다.

#### 2.3.2. 미세구조 관찰

안료의 특성을 좌우하는 요소인 입자크기는 상전이,

소결성에 영향을 미치게 되는데 1350°C의 하소분말에 대해 SEM(SS-550, Shimadzu, Japan)을 사용하여 관찰하였으며, 분말은 초음파 세척기를 사용하여 에탄올에 분산시켜 준비하였다.

결정입자의 형상과 크기를 TEM(Jeol, jem-2010F)으로 측정하였으며 시료는 메탄올에 분산하였다.

### 2.3.3. 유약 적용 실험

합성된 안료의 유약에서의 발색실험을 위해 식(1)의 석회유화, 식(2)의 석회-바륨유에 합성된 안료 6 wt%를 첨가하여 실험 하였다. 백자 시험편에 시유된 시험편은 전기기마에서 1260°C로 1시간 소성한 뒤 자연냉각하였다.

환원소성의 경우는 가스기마로 1240°C까지 소성을 하였다.

	0.3264 KNaO	0.4040 Al <sub>2</sub> O <sub>3</sub>	3.5526 SiO <sub>2</sub>	
lime-glaze	0.6588 CaO	0.0019 Fe <sub>2</sub> O <sub>3</sub>		(1)
	0.0148 MgO	pigments 6 wt%		

	0.2969 KNaO	0.7336 Al <sub>2</sub> O <sub>3</sub>	4.6821 SiO <sub>2</sub>	
lime-barium	0.1567 CaO	0.0181 Fe <sub>2</sub> O <sub>3</sub>		(2)
-glaze	0.0185 MgO	pigments 6 wt%		
	0.5279 BaO			

### 2.3.4. 색상분석

안료의 색상 분석은 Munsell의 색표시인 색상(H: Hue), 명도(V: Value), 채도(C: Chroma)로 나타내었고, 또한 국제조명위원회(CIE: Commission Internationale de l'Eclairage)의 CIE 1976의 L\*, a\*, b\* 표색계의 각 값을 사용하였다. CIE-L\*, a\*, b\* 표색계의 체계에서는 L\*은 명도, 백색(L\* = 100)에서 흑색(L\* = 0)을 측정한다. a\*는 녹색(-a\*)에서 적색(+a\*)을 나타내는 축이며, b\*는 청

색(-b\*)에서 황색(+b\*)를 나타내는 축을 의미한다. 시편 간의 색상을 비교하기 위하여 CIE-L\*, a\*, b\* 표색계의 색차를 사용하였다. L\*, a\*, b\* 값의 차이를 각각  $\Delta L^*$ ,  $\Delta a^*$ ,  $\Delta b^*$  한다면 색차는 다음 식에 의해 계산된다.

$$\Delta E = [(\Delta L^*)^2 + (\Delta a^*)^2 + (\Delta b^*)^2]^{1/2}$$

색차( $\Delta E$ )는 L\*, a\*, b\*의 세 값의 영향을 모두 받으며, L\*, a\*, b\* 표색계에서 그 색상을 나타내는 두 점 사이의 거리와 같다[5].

합성한 안료에 대한 유적용 시험편을 UV Spectrometer (UV-2401PC, Shimadzu, Japan)를 사용하여, L\*, a\*, b\* 와 H/VC 값으로 나타내었다.

### 3.1. 결과 및 고찰

#### 3.1.1. DT-TG 분석

조합된 시료의 열간 변화를 알아 보기위해 6가지 시료를 1200°C까지 DT-TG 분석을 행한 결과 단일 spinel이 생성되는 경우와 spinel 이외의 hematite, iron-chromium oxide, chromium-iron oxide 등이 주결정상이며 spinel이 부결정상으로 나타나는 두 가지 분류결과를 Fig. 2에 나타내었다.

1350°C에서 소성한 안료의 XRD 분석결과 BP1은 hematite, Spinel BP4는 spinel 단일상이 나타난 경우이다.

BP1 및 BP4 모두 100°C 및 150°C 부근에서는 수분의 증발과 흡착수의 탈수로 인한 흡열 peak이 확인되었다. BP1의 경우 500°C 부근에서의 발열 peak은 Fe<sub>2</sub>O<sub>3</sub> 생성의 단계로 보여 지며, 1100°C에서 발열반응은 Spinel과 CoOF<sub>2</sub>O<sub>3</sub>의 생성에 기인한 것이다. BP4의 경우 단일 spinel상이 존재하는 경우이며 1100°C에서 발열반응은 spinel과 CoOF<sub>2</sub>O<sub>3</sub> 생성에 기인한 것으로 보여 지며 이는 XRD 분석결과와 일치한다.

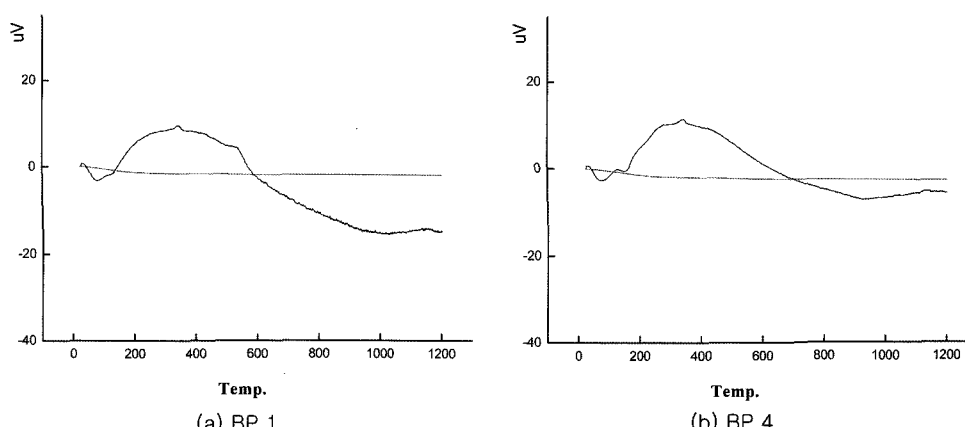


Fig. 2. Thermogravimetric (TG) and differential thermal analysis (DTA) curves obtained for samples (BP.1 and BP.4).

### 3.1.2. XRD 분석

소성온도변화에 따른 안료의 결정상을 알아보기 위해 X-선 회절분석을 행한 결과를 Fig. 3과 Fig. 4에 나타내었다.

Fig. 3의 경우  $\text{CoO}$ 의 함량이 10 %인 안료의 XRD 측정결과이다. BP1의 주결정상은 hematite, BP3의 주결정상은 Iron Chromium Oxide, BP6의 주결정상은 Chromium Iron Oxide로 나타났으며 부결정상으로는 spinel로 동정되었다. BP1의 경우 650°C에서 hematite가 생성되기 시작하였으며 1100°C부터 spinel이 함께 생성되어 1350°C까지 공존하였다. BP3의 경우 500°C에서 Iron Chromium Oxide가 생성되기 시작하고 1200°C부터 부결정상인 spinel이 생성되기 시작하여 1350°C까지 공존하였다. BP6의 경우  $\text{Cr}_2\text{O}_3$ 의 양이 증가됨에 따라 hematite peak은 나타나지 않고 600°C에서 Chromium Iron Oxide의 결정상이 나타났으며 1100°C 이후 부터는 spinel로 동정되었다.

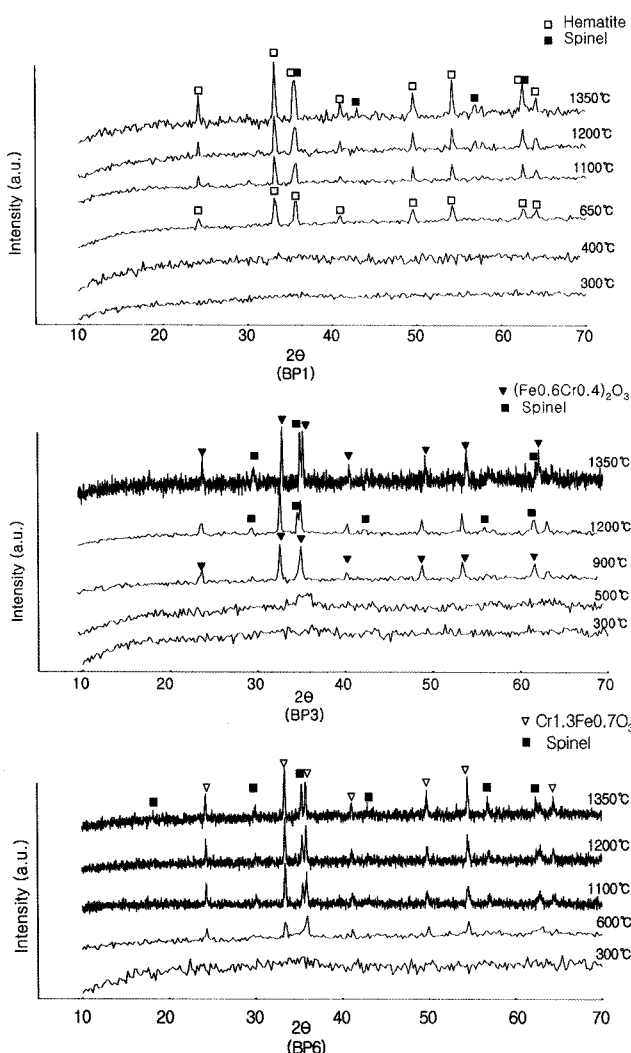


Fig. 3. X-ray diffraction patterns of samples (BP1, 3, 6).

Fig. 4는  $\text{CoO}$ 의 함량이 30 %, 50 %인 안료의 XRD 측정결과이다. BP2, BP4 안료는 1350°C에서 소성하였을 경우 spinel 상만 검출되었다. 이것으로 안정한 spinel 상 안료를 합성하기 위해서는  $\text{CoO}$ 의 함량이 30 % 이상되어야 함을 알 수 있다.

세 가지 안료 중에서  $\text{Fe}_2\text{O}_3$ 의 함량이 제일 많은 BP2의 경우는 1100°C에서 hematite와 spinel이 함께 공존하지만 1200°C 이상이 되면서 spinel 상만이 나타나기 시작하였다.  $\text{Fe}_2\text{O}_3$ 의 함량이 줄고  $\text{CoO}$ 의 함량이 증가한 BP4의 경우는 1100°C부터 spinel 상만이 동정되었다.

BP5는  $\text{Fe}_2\text{O}_3$ 와  $\text{Cr}_2\text{O}_3$ 의 함량이 30 %로 동일한 조성의 XRD 측정결과이다. BP6과 마찬가지로 500°C부터 Chromium Iron Oxide가 생성되기 시작하면서 1100°C부터는 spinel과 함께 공존하지만 1200°C 이상이 되면서 spinel ( $\text{FeCr}_2\text{O}_4$ ) 상만이 동정되었다.

### 3.1.3. FT-IR 분석

합성된 안료에 존재하는 결정상과 원자 또는 분자간

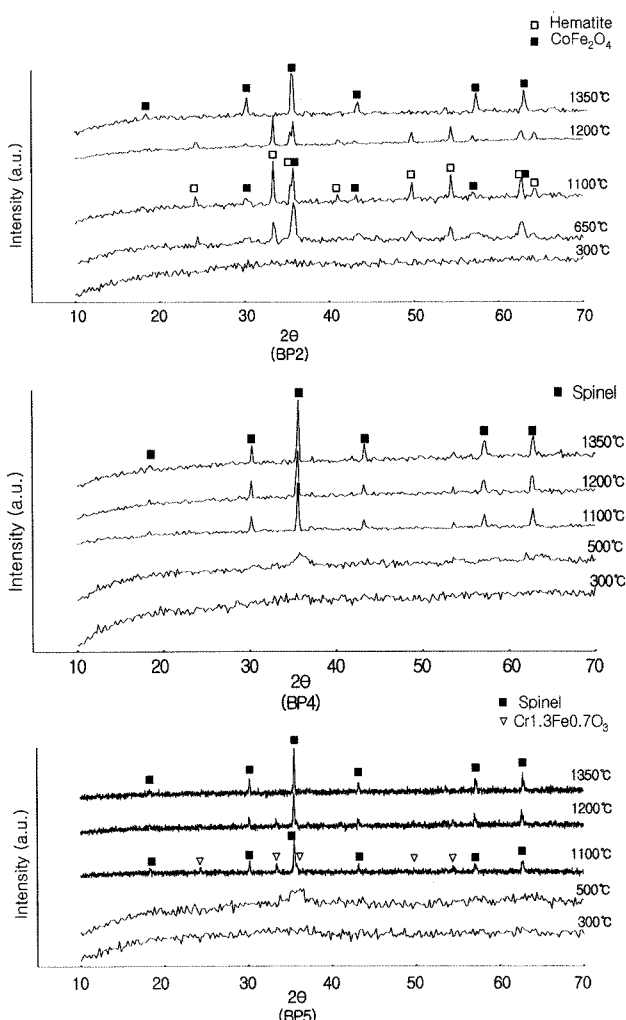


Fig. 4. X-ray diffraction patterns of samples (BP2, 4, 5).

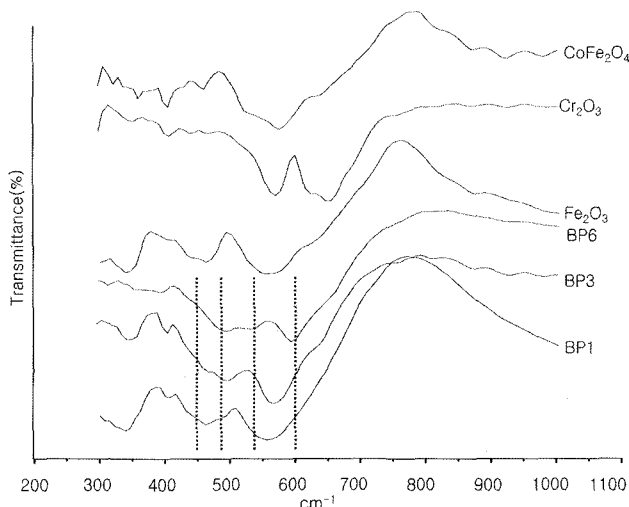


Fig. 5. FT-IR transmit spectra for synthesized pigments fired at 1350°C (BP1, 3, 6).

결합 관계를 알아보기 위하여 FT-IR 분석을 하였다. Table 1의 조성에서 합성되어질 수 있는 spinel은 CoFe<sub>2</sub>O<sub>4</sub>, FeCr<sub>2</sub>O<sub>4</sub>, CoCr<sub>2</sub>O<sub>4</sub> 3가지이지만 이들의 격자 정수가 서로 비슷하여, XRD 분석만으로는 구분 할 수가 없다. 즉, 1350°C에서 합성한 spinel이 단일상의 spinel인지, 혹은 2종류의 spinel 상이 공존 하는 것인지를 알아보기 위하여 FT-IR 분석을 하였다. 측정 range는 300~1000 cm<sup>-1</sup>로

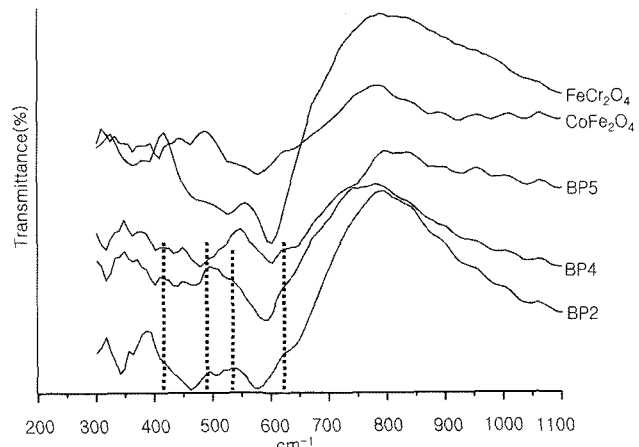


Fig. 6. FT-IR transmit spectra for synthesized pigments at 1350°C (BP2, 4, 5).

하였으며 그 결과를 Fig. 5, Fig. 6의 transmit spectra를 나타내었다.

XRD 측정결과에서 주결정상으로 BP1-hematite, BP3-Iron Chromium Oxide, BP6-Chromium Iron Oxide로 부결정상으로는 spinel로 동정되는 안료의 IR-spectra를 Fig. 5에 나타내었다.

BP1은 Fe<sub>2</sub>O<sub>3</sub>의 함량이 제일 많은 70 m%인 경우의 조성이다. Fe<sub>2</sub>O<sub>3</sub>와 BP1은 555.50 cm<sup>-1</sup>, 462.92 cm<sup>-1</sup>에서 Fe<sub>2</sub>O<sub>3</sub>에 의한 특성의 흡수밴드를 보이고 있으며 이는

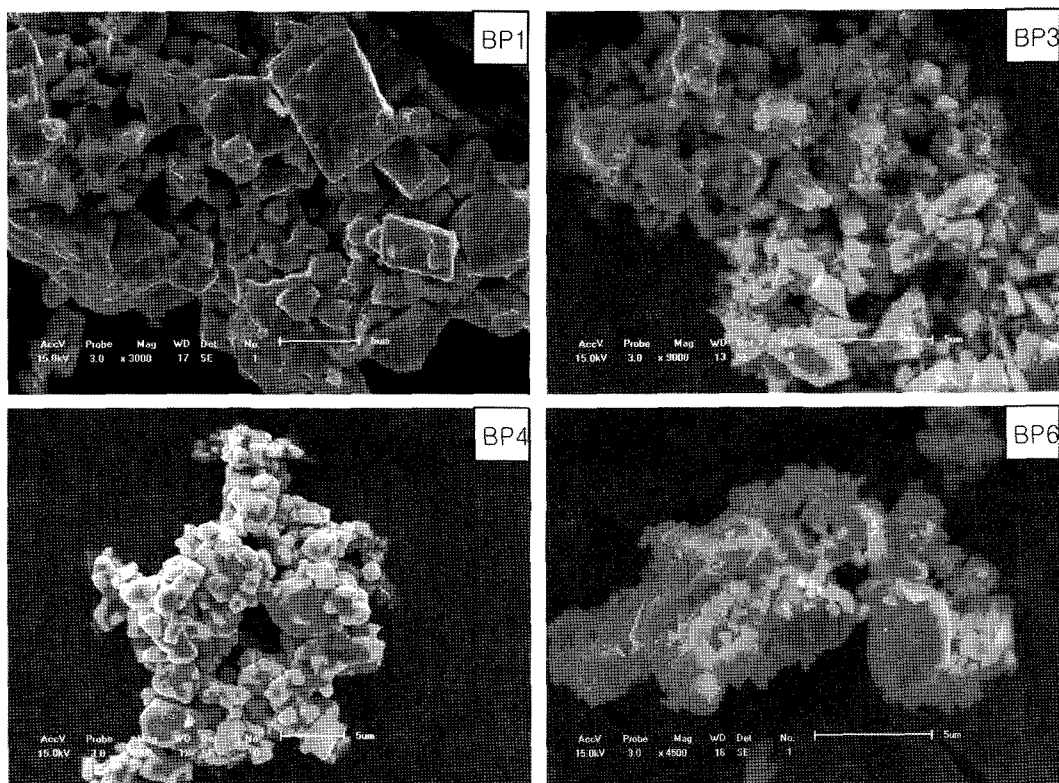


Fig. 7. SEM image of the synthesized pigments.

XRD 분석결과와 일치하였다.

BP3, BP6은  $\text{Cr}_2\text{O}_3$ 의 함량이 증가되는 조성으로  $\text{Cr}_2\text{O}_3$ 의 함량이 증가할수록  $\text{Cr}_2\text{O}_3$ 의 특성 band인  $570.93\text{ cm}^{-1}$ ,  $648.08\text{ cm}^{-1}$  쪽으로 shift되었다.

또한 BP1, BP3, BP6의 XRD 측정결과 2차상으로 동정되는 spinel의 흡수밴드가  $462.92\text{ cm}^{-1}$ ,  $578.64\text{ cm}^{-1}$ 에서 확인되었으며 이는 XRD 분석결과와 잘 일치하였다.

BP2, BP4, BP5의 XRD 측정결과 주결정상이 spinel로 동정된 안료의 IR-spectra를 Fig. 6에 나타내었다. 그 결과 BP2와 BP4의 경우  $462.92\text{ cm}^{-1}$ 과  $578.64\text{ cm}^{-1}$ 에서  $\text{CoFe}_2\text{O}_4$ 의 특성흡수 밴드가 나타났으며, 이것은 XRD 분석결과와도 잘 일치하였다. BP2와 BP4 보다  $\text{Cr}_2\text{O}_3$ 의 함량이 많은 BP5의 경우  $\text{CoFe}_2\text{O}_4$  spinel과  $\text{FeCr}_2\text{O}_4$  spinel의 공존으로 인하여 흡수밴드가  $601.79\text{ cm}^{-1}$ ,  $478.35\text{ cm}^{-1}$  쪽으로 shift되었다. BP5는  $\text{CoOF}\text{e}_2\text{O}_3$  spinel과  $\text{FeOCr}_2\text{O}_3$  spinel이 함께 공존하는 mixed spinel로 보여진다.

Spinel의 흡수 밴드가  $601.79\text{ cm}^{-1}$ ,  $478.35\text{ cm}^{-1}$ 에 나타났다[6, 8]. 이는  $\text{CoFe}_2\text{O}_4$  spinel의 특성 peak과  $\text{FeCr}_2\text{O}_4$  spinel의 특성 peak 사이에서 나타난 것으로 합성된 BP5 안료 내에는  $\text{CoFe}_2\text{O}_4$  spinel과  $\text{FeCr}_2\text{O}_4$  spinel이 공존함을 알 수 있다.

이상의 결과 XRD로 분석된 spinel은 BP5만 제외하고는 2~3가지 2가 또는 3가 금속이 고용된 단일상의 spinel이고 BP5는 2가지 spinel이 혼재되어 있음을 알 수 있다.

### 3.1.3. SEM, TEM 관찰

합성된 안료의 입형과 입자의 크기를 알아보기 위하여 주사전자 현미경과 관찰을 하였다. 주사전자 현미경의 관찰결과는 Fig. 7에 나타내었으며 전자현미경의 image는 Fig. 8에 나타내었다. Fig. 7에서 BP1의 경우  $2\text{ }\mu\text{m}$  크기의 hematite 결정의 팔면체와  $2\text{ }\mu\text{m}$  크기의  $\text{CoOF}\text{e}_2\text{O}_3$

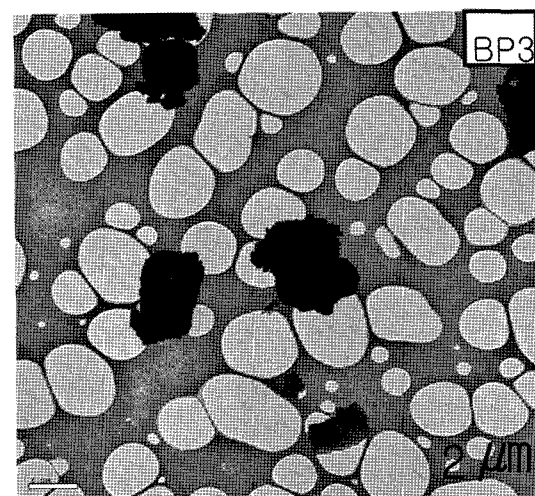


Fig. 8. TEM image of the synthesized pigment ( $\times 1000$ ).

spinel 입방체의 형태가 보이며 이는 XRD 분석결과와 일치하였다.

Spinel이 주결정상인 BP4의 경우에는 spinel의 전형적인 결정형인 입방체와 구형의 형태로 나타났으며 평균입경은  $830\text{ nm}$  정도이다.

Iron Chromium Oxide와 spinel이 공존하는 BP3, BP6에서는 Iron Chromium Oxide와 Chromium Iron Oxide에 의한 팔면체와 spinel에 의한 구형이 주로 나타나 평균 입경은  $600\text{ nm}$ 이다.

Fig. 8은  $1350^\circ\text{C}$ 로 소성한 BP3의 전자현미경의 image 사진이다.

전자현미경 관찰 결과에서도 SEM 관찰 결과와 마찬가지로 Iron Chromium Oxide에 의한 팔면체와 spinel에 의한 입방체만이 관찰되었으며 평균입경은  $2\text{ }\mu\text{m}$ 이다.

### 3.1.5. UV Spectrometer

합성된 안료를 석회유, 석회바륨유에 6 wt% 첨가하여

Table 2  
Results of the glazed tiles test in lime-glaze

Sample	H	V/C	L*	a*	b*	color	firing
BP1	9.2Y	2.1/0.6	21.9	-0.81	2.92	dark grayish olive	OF
	N1.6		16.98	-0.32	0.19	black	RF
BP2	2.0P	1.8/0.1	18.96	0.34	-0.49	black	OF
	6.8G	2.4/0.2	24.64	-0.64	0.17	black	RF
BP3	1.1PB	1.4/0.5	14.75	-0.22	-1.57	black	OF
	3.4PB	2.3/0.4	23.44	-0.01	-2.03	black	RF
BP4	4.4PB	1.5/0.5	15.12	0.20	-2.2	black	OF
	1.7PB	1.5/0.5	15.06	-0.22	-2.32	bluish black	RF
BP5	0.4PB	1.7/0.3	17.71	-0.28	-1.28	black	OF
	4.6BG	1.9/1.4	19.83	-5.08	-1.23	bluish green	RF
BP6	7.2PB	2.0/0.2	20.89	0.35	-1.18	black	OF
	9.1GY	2.3/1.2	23.69	-3.88	3.14	dark grayish green	RF

Table 3  
Results of the glazed tiles test in lime-barium-glaze

Sample	H	V/C	L*	a*	b*	color	firing
BP1	5.1GY	2.2/0.3	21.11	-2.09	4.87	dark grayish olive	OF
	N1.9		19.75	0.01	-0.45	black	RF
BP2	1.9GY	1.9/0.2	19.31	0.60	-1.16	black	OF
	6.3GY	1.8/0.5	18.18	-1.25	1.47	black	RF
BP3	1.5PB	2.1/0.7	21.78	-0.48	-3.20	dark grayish blue	OF
	5.7PB	1.8/1.0	18.71	0.93	-4.87	blackish blue	RF
BP4	4.8PB	1.9/0.5	19.63	0.23	-2.21	black	OF
	3.5PB	1.9/0.5	19.01	0.04	-1.10	blackish black	RF
BP5	9.5B	1.8/0.4	18.19	-0.44	-1.52	black	OF
	4.4BG	1.8/1.3	18.85	-4.86	-1.10	blackish green	RF
BP6	7.1PB	1.9/0.2	19.51	0.24	-0.82	black	OF
	8.4GY	2.2/1.2	22.83	-3.81	3.38	dark grayish green	RF

1260°C에서 1시간 동안 산화소성, 가스가마에서 1240°C로 환원소성 하였다. 소성한 시험편의 색상을 알아보기 위해 UV-vis Spectrometer로 측정하였으며 Munsell-HV/C와 CIE-L\*, a\*, b\* 값으로 정리하였고 Applied color system Inc. CIE coordinates to Munsell notation conversion을 이용하여 색상명을 나타내었다.

석회유에서의 색상결과를 Table 2에, 석회바륨유에서의 색상결과를 Table 3에 나타내었다.

BP1의 경우  $\text{Fe}_2\text{O}_3$ 의 함량이 70 m%인 조성으로 XRD 분석결과 hematite, spinel이 나타났으며, 적갈색의 hematite와 흑색의 spinel로 인해 UV측정결과 dark grayish olive로 측정되었으며 환원소성에서는 black으로 나타났다[7]. BP4의 경우 CoO 함량이 50 mole%인 조성으로 XRD 분석결과 spinel이 나타났으며 UV측정결과 산화소성에서는 black, 환원소성에서는 bluish black으로 측정되어 CoO의 함량변화가 늘어날수록 푸른색을 띤 검정으로 변한다는 것을 알 수 있다.

BP5는  $\text{Cr}_2\text{O}_3$ 의 함량이 30 m%인 조성이며  $\text{CoOFe}_2\text{O}_3$ , spinel과  $\text{FeOCr}_2\text{O}_3$ , spinel이 함께 공존하는 mixed spinel이며,  $\text{Cr}_2\text{O}_3$ 의 함량이 많은 조성으로 안료색상이 bluish green으로 나타났다.

BP3, BP6은  $\text{Fe}_2\text{O}_3$ 가  $\text{Cr}_2\text{O}_3$ 로 치환한 조성으로 XRD 분석결과 Iron Chromium Oxide, Chromium Iron Oxide가 주결정상으로 나타나며 부결정상으로는 spinel이 존재한다. BP6의 경우  $\text{Cr}_2\text{O}_3$  함량이 50 m%인 조성으로 free로 존재하는  $\text{Cr}_2\text{O}_3$ 의 영향으로 인해 UV측정결과 dark grayish green으로 나타났다.

#### 4. 결 론

$\text{Fe}_2\text{O}_3\text{-CoO-Cr}_2\text{O}_3\text{-MnO}_2$ 계 무기안료를 공침법을 사용하여 합성하였다.

합성안료의 유약 적용 발색과 결정상의 관계는 다음과 같다.

1) BP1, BP2의 경우  $\text{Fe}_2\text{O}_3$ 의 함량이 70~50 m%인 조성으로 XRD 분석결과 BP1은 hematite, BP2는 spinel로 나타났다. 이들을 유약에 첨가하여 소성한 후 UV측정결과 기본유 변화에 상관없이 dark grayish olive, black로 측정되었으며 환원소성에서는 black으로 나타났다.

2) BP4의 경우 CoO 함량이 50 m%인 조성으로 XRD 분석결과 spinel이 나타났으며 유약의 색상은 기본유에 상관없이 산화소성에서는 black, 환원소성에서는 bluish black으로 측정되어 CoO의 함량변화가 늘어날수록 푸른색을 띤 검정으로 변한다는 것을 알 수 있다.

3) BP5는  $\text{Cr}_2\text{O}_3$ 의 함량이 30 m%인 조성으로 XRD 분석결과  $\text{CoOFe}_2\text{O}_3$ , spinel과  $\text{FeOCr}_2\text{O}_3$ , spinel이 함께 공존하는 mixed spinel이며, Chromium Iron Oxide과 spinel의 영향으로 인해 유약색상이 bluish green, black으로 나타났다.

4) BP3, BP6은  $\text{Fe}_2\text{O}_3$ 를  $\text{Cr}_2\text{O}_3$ 로 치환한 조성으로 XRD 분석결과 Iron Chromium Oxide, Chromium Iron Oxide가 주결정상으로 나타나며 부결정상으로는 spinel이 존재하였으며, 유약의 색상은 석회유에서는 black, 석회 바륨유에서는 dark grayish blue, blackish blue로 나타났다. BP6의 경우  $\text{Cr}_2\text{O}_3$  함량이 50 mole%인 조성으로 free로 존재하는  $\text{Cr}_2\text{O}_3$ 의 영향으로 인해 UV측정결과 dark grayish green으로 나타났다.

#### 감사의 글

이 논문은 2006년도 정부(과학기술부)의 재원으로 한국 과학재단의 지원을 받아 수행된 연구임(No. R0A-2006-000-10442-0).

## 참 고 문 헌

- [ 1 ] S.N. Choi, Y.S. Lee and B.H. Lee, "Bone body production and red color body development using the bone body", *J. Kor. Cerm. Soc.* 43[10] (2006) 601.
- [ 2 ] Y. Shiraki, "Glaze and Pigment", Deakwang (1980) p.160.
- [ 3 ] J.O. Myung, "Synthesis of spinel ( $\text{MgAl}_2\text{O}_4$ ) nano powder by coprecipitation (in korean)", A Master Thesis, Myongji University, Seoul (2004) 1-2.
- [ 4 ] B.H. Lee, "A study of  $\text{SrTiO}_3$  syntheses by various chemical reactions (in korean)", in Ph D.Thesis, Hanyang University, Seoul (1983) 21.
- [ 5 ] T. Tlaczala and A. Bartek, "Electronic spectroscopy and trichromaticity colorimetry of some inorganic pigments and their mixtures", *Dyes and Pigments* 28(4) (1995) 47.
- [ 6 ] N.T. McDevitt and W.L. Baun, "Infrared absorption study of metal oxides in the low frequency region (700'-240  $\text{cm}^{-1}$ )", *J. Spectrochimica Acta*. 20 (1964) 799.
- [ 7 ] Aladar Burgyan and Richard A. Eppler, "Classification of mixed-inorganic pigments", *Am. Ceram. Bull.* 62(9) (1983) 1001.
- [ 8 ] R.A. Nyquist and R.O. Kagel, "Infrared spectra of inorganic compounds", Academic Press, INC. New York (1971) pp.216-219, pp.488-489.
- [ 9 ] Toshio Takada and Masao Kryma, "Preparation of Ferrites by Wet Method", *Proceedings of International Conference*, July (1970), Japan 69-71.
- [10] A. Escardino, S. Mestre, A. Barba, M. Monzo, A. Blasco and V. Beltran, "Colorimetric study of black  $(\text{Fe,Cr})_2\text{O}_3$  pigment synthesis reaction: relation between chromatic coordinates and synthesis conditions", *British Ceramic Transactions* 102[6] (2003) 247.
- [11] G. Vaidyanathan, S. Sendhilnathan and R. Arulmurgan, "Structural and magnetic properties of  $\text{Co}_{1-x}\text{Zn}_x\text{Fe}_2\text{O}_4$  nanoparticles by co-precipitation method", *J. Magn. Magn Mater.* 10[1016] (2007) 1.